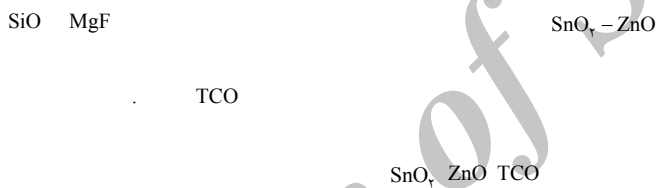


$\text{SnO}_\gamma - \text{ZnO : F} / \text{MgF}_\gamma / \text{SiO}_\gamma$

(دریافت مقاله: ۱۳۹۰/۲/۱۸؛ دریافت نسخه نهایی: ۱۳۹۰/۱۰/۴)



بلکه مزیت‌های SnO_γ را نیز به همراه داشت. بعد از آن نیز ترکیبات دوتایی-دوتایی دیگری گزارش شد. لایه‌های ترکیبی $\text{SnO}_\gamma - \text{ZnO}$ برای تولید حسگرهای تشخیصی گازهای قابل احتراق و رطوبتی، به عنوان پوشش در فتوالکتروشیمی و برای ساخت اتصالات الکتریکی به طور گسترده مورد استفاده قرار گرفته و به همین علت مورد توجه محققین واقع شده‌اند [۵-۸]. در این پروژه لایه‌های ترکیبی $\text{SnO}_\gamma - \text{ZnO}$ و $\text{SnO}_\gamma - \text{ZnO:F}$ به روش اسپری پایرولیز تهیه شده است. این روش به واسطه سادگی و هزینه کم دستگاه و ارزانی مواد خام نسبت به سایر روش‌های تهیه لایه‌های نازک ارجحیت دارد. هدف از انجام این پروژه دستیابی به یک لایه ترکیبی هادی شفاف با کیفیت بالا است، چنانکه در ناحیه مرئی شفافیت بسیار بالا داشته و نیز دارای هدایت الکتریکی بالا باشد. این مواد نیم‌رسانا در هنگام برخورد نور مقداری انعکاس از خود نشان می‌دهند که برای کاستن میزان بازتابش در ناحیه مرئی می‌توان

اکسیدهای رسانای شفاف (TCO) به علت داشتن شفافیت اپتیکی بالا و رسانندگی الکتریکی مطلوب کاربردهای گسترده‌ای در تکنولوژی دارند. از جمله کاربردهای این لایه‌ها عبارتند از: صفحات نمایشی، قطعات الکتروکرومیک، سلول‌های خورشیدی، دیودهای گسینده نور، پوشش‌های ضدبازتاب و پوشش‌های آینه‌ای گرمایی شفاف برای ساختمان‌ها و ماشین‌ها (زیرا این پوشش‌ها گرمایی کمتری گسیل می‌کنند) [۱-۴]. این لایه‌ها به روش‌های گوناگونی تهیه می‌شوند. در سال‌های اخیر سیستم‌های ترکیبی سه تایی - سه تایی و دوتایی-دوتایی به TCO‌های جدید گسترش پیدا کرده‌اند. اولین TCO جدید دوتایی-دوتایی در سال ۱۹۹۴ توسط مینامی^۱ با ترکیب $\text{ZnO}_\gamma - \text{SnO}_\gamma$ گزارش شد که نه تنها مزیت‌های لایه‌های

۱. Minami

۱۰cc/min و تحت فشار ۲/۵bar روی شیشه‌ها اسپری می‌شود. قطر نازل ۳mm و ارتفاع نازل تا زیرلایه‌ها ۳۵cm می‌باشد. در این تحقیق مقدار ناخالصی Zn و F به عنوان متغیر در نظر گرفته شده و پس از انجام شبیه سازی و تعیین ضخامت‌های بهینه، نمونه‌های متعددی به روش اسپری تهیه شده و مشخصه‌یابی شده‌اند. خواص نوری لایه‌ها با استفاده از طیف‌سنج UV-Vis دوپرتوی مدل Jasco در محدوده ۲۰۰-۱۱۰۰nm بررسی شده است.

در این تحقیق از روش ماتریس اپتیکی برای انجام شبیه‌سازی و ارزیابی ضرایب عبور اپتیکی و طراحی پوشش‌ها استفاده شده است. در این روش، هر لایه نازک توسط ماتریس M_j (2×2) به صورت زیر توصیف می‌شود [۱۳] :

$$M_j = \begin{pmatrix} \cos \beta_j & (i \sin \beta_j) / n_j \\ i n_j \sin \beta_j & \cos \beta_j \end{pmatrix} \quad (1)$$

در این معادله β_j از طریق رابطه روبرو به ضخامت فیزیکی d_j مربوط می‌شود:

$$\beta_j = \left(\frac{2\pi}{\lambda} \right) n_j d_j \quad j = 1, 2, 3.$$

در رابطه بالا n_j ضریب شکست هر لایه است. در این طراحی ماتریس مشخصه فیلم‌های سه لایه به صورت زیر خواهد بود :

$$\begin{pmatrix} B \\ C \end{pmatrix} = M_1 M_2 M_3 \begin{pmatrix} 1 \\ n_g \end{pmatrix} \quad (2)$$

میزان عبور اپتیکی و بازتابش در تابش عمودی با استفاده از معادلات زیر محاسبه می‌شود [۱۳] :

$$R = \left(\frac{B n_o + C}{B n_o + c} \right) \left(\frac{B n_o - C}{B n_o + C} \right) \quad (3)$$

$$T = 1 - R = \frac{4 n_o B C}{(B n_o + C)^2} \quad (4)$$

در این پروژه ضخامت بهینه هر لایه در ساختار چند لایه‌ای SnO_۶-ZnO-F/MgF_۷/SiO_۶ به منظور دستیابی به میزان عبور اپتیکی بالا در ناحیه مرئی و بازتابش بالا در ناحیه مادون قرمز با استفاده از شبیه‌سازی کامپیوتری توسط برنامه‌نویسی در Matlab محاسبه و مقدار بهینه آنها مورد ارزیابی قرار گرفته است. پارامترهای قابل تنظیم برای ارزیابیتابع T ، ضخامت‌های

از پوشش‌های ضدبازتاب استفاده کرد. ما در این تحقیق از پوشش‌های ضدبازتاب MgF_۷ و SiO_۶ که دارای ضریب شکست پایینی می‌باشند [۱۱-۹] استفاده کردند. نتایج مربوط به ارزیابی پاسخ اپتیکی مربوط به استفاده از نمونه‌های فاقد لایه ضدبازتاب، دارای یک لایه ضدبازتاب و دو لایه ضدبازتاب با هم مقایسه شده و در هر مورد ضخامت بهینه با انجام شبیه سازی متقی بر محاسبات عددی تعیین شده است.

برای تهیه لایه‌های نازک SnO_۶-ZnO-F و SnO_۶-ZnO به روش اسپری پایرولیز، کلرید قلع ۵ آبه (SnCl_۴.5H_۲O) و کلرید ZnCl_۶ (ZnCl_۶) ساخت شرکت مرک و با درجه خلوص ۹۹/۹۹ به عنوان منابع تولید یون قلع و روی مورد استفاده قرار گرفتند.

برای تهیه SnO_۶ خالص، پودر SnCl₄.5H_۲O به مقدار معین در محلول اتانول و آب به نسبت مساوی حل شده و سپس به منظور افزایش شفافیت محلول چند قطره اسید کلریدریک (HCl) اضافه گردید که در نتیجه PH محلول کاهش یافته و نیز حلایت نمک بیشتر می‌شود. آنگاه برای تهیه فیلم‌های ترکیبی SnO_۶-ZnO (بدون تغییر در شفافیت محلول) مقدار مشخصی کلرید روی (ZnCl_۶) با نسبت اتمی متفاوت به محلول فوق اضافه شده و برای تهیه فیلم‌های ترکیبی SnO_۶-ZnO:F (بدون تغییر در شفافیت محلول) مقدار مشخصی کلرید روی (ZnCl_۶) و NH_۴F به محلول فوق اضافه می‌شود. در این تحقیق لامهای میکروسکوپ به عنوان زیرلایه مورد استفاده قرار می‌گیرد. زیرلایه‌ها پس از شستشو با محلول آب و صابون و خشک نمودن توسط جریان هوای خشک، درون حمام اولتراسونیک قرار داده شده و با محلول مرکب از اتانول و استون به مدت ده دقیقه تمیزکاری می‌شود. در دستگاه اسپری پایرولیز مورد استفاده، به منظور ایجاد یکنواختی بیشتر، صفحه داغ با سرعت مناسب دوران داده شده و نیز نازل اسپری با دامنه معین رویش می‌نماید.

در این مرحله زیرلایه‌ها را توسط دستگاه اسپری تا دمای ۴۸۰°C گرم نموده و بعد از آن ۱۰cc محلول با آهنگ

جدول ۱. تغییرات مقاومت سطحی و ویژه الکتریکی با افزایش مقدار Zn در فیلم‌های ZnO-SnO_x (ضخامت لایه‌ها تقریباً ۳۵۰ nm)

ZnCl ₄ (wt%) در محلول	۰	۰/۲	۰/۳	۰/۵	۱	۲
ZnCl ₄ (mol) در محلول	۰	۰/۰۰۱۴	۰/۰۰۲۲	۰/۰۰۳۶	۰/۰۰۷۳	۰/۰۱۴
Sheet Resistance (kΩ / sq) SnO _x -ZnO	۲/۴۴	۴/۳	۳۱/۴۱	۳۷/۲۵	۴۳۵/۰۲	۵۷۲۰
Resistivity (Ωcm) SnO _x -ZnO	۰/۰۸۵	۰/۱۵۰۵	۱/۰۹۹	۱/۳۰۳	۱۵/۲۳	۲۰۰/۲

جدول ۲. تغییرات مقاومت سطحی و ویژه الکتریکی با افزایش ناخالصی F برای مقدار ثابت Zn در فیلم‌های ZnO-SnO_x

NH ₄ F (wt%) در محلول	۰	۰/۰۵	۰/۱	۰/۲	۰/۳	۰/۳۵	۰/۴
نسبت اتمی (%) F/Sn	۰	۱/۵	۲/۸	۵/۷	۸/۶	۹/۹	۱۱/۴
Sheet Resistance (kΩ / sq) SnO _x -ZnO:F	۴/۳	۲/۶۸	۲/۱۶	۰/۶	۳/۱	۳/۸۳	۴/۸۷
Resistivity (Ωcm) SnO _x -ZnO:F	۰/۱۵۹۱	۰/۰۹۹۱	۰/۰۷۹۹	۰/۰۲۲۲	۰/۱۱۴۷	۰/۱۲۲۳	۰/۱۸۰۱

VAS Coating System چند منظوره لایه‌نمانی در خلاء مدل استفاده شده است. این دستگاه مجهز به پمپ‌های خلاء روتاری و توربو بوده و ضخامت لایه‌ها نیز در ضمن لایه‌نمانی به روش کریستال کوارتز توسط دستگاه FTM5 تعیین می‌شود.

جدول ۱ نشان می‌دهد که مقاومت سطحی لایه‌های ZnO-SnO_x با افزودن مقدار Zn افزایش می‌یابد. با افزودن مقدار ناخالصی، اتم‌های آلاینده بیشتری مکان‌های ماده اصلی را اشغال می‌نمایند. این فرآیند تا زمانی که جایگاه‌های شبکه‌ای مناسب در ادسترس باشد، ادامه می‌یابد؛ هنگامی که به مقدار اشباع رسید یون‌های ناخالصی در مرز بین دانه‌ها قرار می‌گیرد که این امر باعث افزایش مقاومت سطحی می‌گردد. در تراکم ناخالصی بالا پراکندگی از ناخالصی بیونیزه غالب بوده که باعث برخورد بین حامل‌ها گشته و در نتیجه تحرک پذیری حامل‌ها کاهش و مقاومت الکتریکی افزایش می‌یابد. جدول ۲ نشان می‌دهد که در لایه‌های SnO_x-ZnO افزودن ناخالصی F تا حد ۰/۲ درصد حامل‌های بار را افزایش و مقاومت الکتریکی را کاهش می‌دهد، در حالی که بالاتر از این حد ناخالص‌سازی موجب افزایش مقاومت سطحی شده است. (میزان دقت در تعیین مقاومت برابر ۱ میلی اهم، در اندازه‌گیری جرم برابر ۱ میلی‌گرم و در اندازه‌گیری فاصله بین دو الکترود ۱ mm می‌باشد).

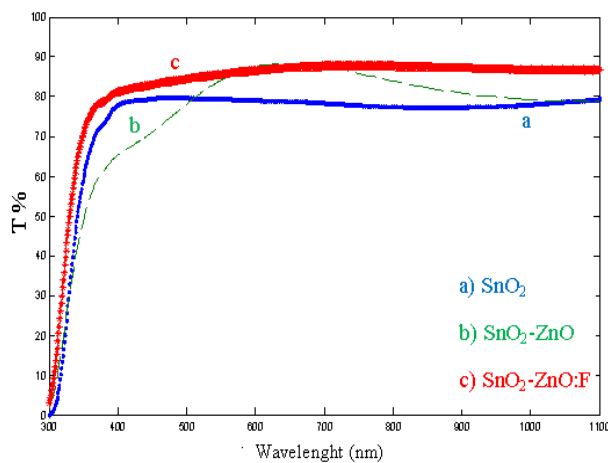
بر اساس شکل ۱ میزان عبور اپتیکی نیز وابسته به میزان

$d_۱$ و $d_۲$ لایه‌ها و نیز ضریب شکست‌های $n_۱$ و $n_۲$ می‌باشد. پارامترهای مورد استفاده در برنامه شبیه‌سازی عبارتند از :

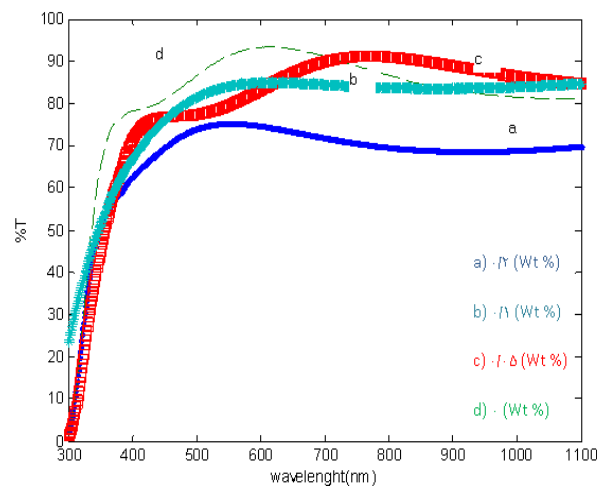
(الف) $n_۱$ ضریب شکست محیط اول،
(b) $n_۲ = ۱/۵$ ضریب شکست زیر لایه شیشه،
(c) $n_۳$ ضریب شکست لایه TCO که برای هر نمونه متفاوت است،

ت) بازه طول موج از ۳۰۰ nm تا ۸۰۰ nm
(j) تابش به صورت عمود می‌باشد،
(d) ضریب شکست لایه SiO_۲ از ۱/۵ تا ۱/۸،
(z) ضریب شکست لایه MgF_۲ برابر است با $n_۱ = ۱/۳۸$
(r) ضخامت لایه SiO_۲ از ۱۰ nm تا ۱۰۰۰ nm
(z) ضخامت لایه MgF_۲ از ۱۰ nm تا ۱۰۰۰ nm
(i) ضخامت لایه اولیه برای TCO.

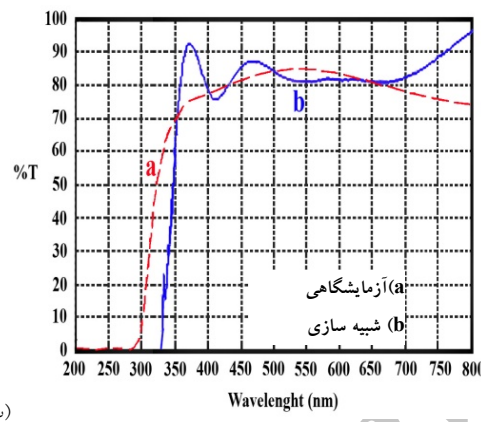
به منظور اندازه‌گیری مقاومت سطحی (R_s) و مقاومت ویژه (ρ) ابتدا بر روی دو انتهای نمونه، دو الکترود از جنس مس با روش تبخیر حرارتی در خلاء لایه‌نمانی شده و سپس مقاومت سطحی و مقاومت ویژه الکتریکی اندازه‌گیری شده است. نتایج حاصله در جداول ۱ و ۲ درج شده است. برای الکترودگذاری از دستگاه



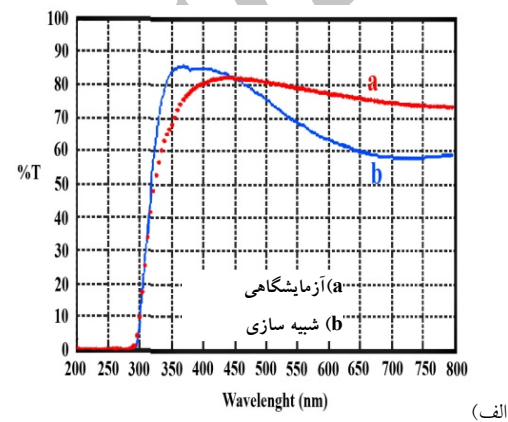
شکل ۲. مقایسه طیف عبوری اپتیکی در طول موج UV-Vis برای فیلم‌های ZnO-SnO_x:F و ZnO-SnO_x و SnO_x



شکل ۱. طیف عبوری اپتیکی لایه‌های ZnO-SnO_x:F



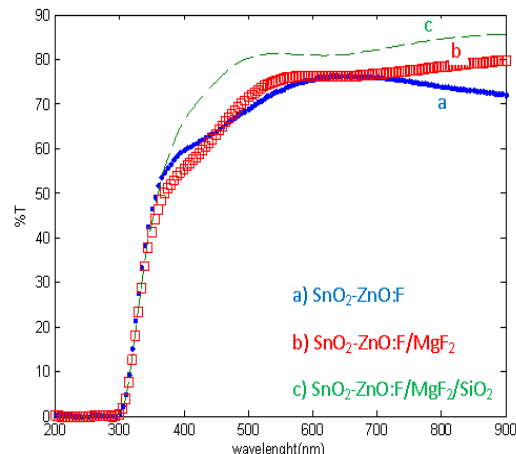
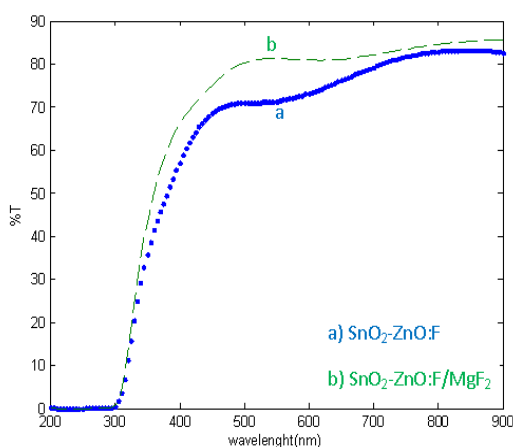
شکل ۳. طیف عبوری اپتیکی فیلم ترکیبی ZnO-SnO₂، الف) بدون لایه ضدبارزتاب و ب) با یک لایه ضدبارزتاب (مقایسه نتایج شبیه‌سازی و آزمایشگاهی).



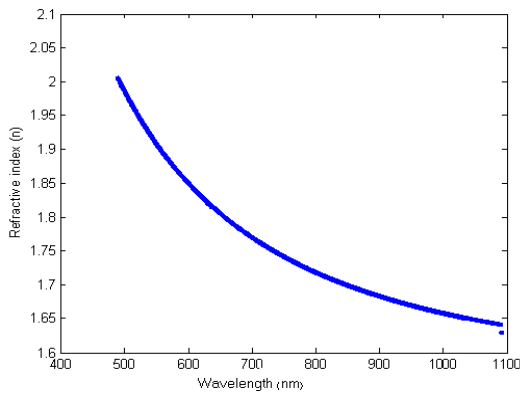
در ناحیه مرئی از پوشش‌های ضدبارزتاب استفاده کردیم. این لایه‌ها عموماً دارای ضخامتی کمتر از ۱۰۰ nm بوده و از مواد دی الکتریک شفاف با ضرب شکستی کوچکتر از بستر ساخته می‌شوند پس از انجام شبیه‌سازی و به دست آوردن مقادیر بقیه مربوط به ضخامت هر لایه که حدود ۱۱۰ nm به دست آمد، با استفاده از دستگاه تغییر حرارتی VAS بر روی نمونه‌های TCO تهیه شده لایه ضدبارزتاب جایگذاری شد. در نمونه‌های تهیه شده شده و دارای یک لایه ضدبارزتاب، متوسط عبور بالاتر از ۸۷٪ برای لایه ZnO-SnO₂ در ناحیه طول موج مرئی می‌باشد. مقایسه نتایج تجربی به دست آمده با نتایج حاصل از برنامه‌نویسی شکل ۳ تطابق خوبی را نشان می‌دهد.

ناخالصی بوده و با انتخاب تراکم مناسب ناخالصی می‌توان ضمن داشتن مقاومت سطحی مناسب، عبور اپتیکی مناسبی را فراهم نمود. میزان متوسط عبور اپتیکی در ناحیه مرئی با افزایش تراکم ناخالصی کاهش می‌یابد. کاهش عبور در تراکم ناخالصی بالا به سبب افزایش پراکنندگی فونون‌ها در بلور می‌باشد.

شکل ۲ نشان می‌دهد که میزان عبور اپتیکی پوشش SnO_x-ZnO بیشتر از SnO_x می‌باشد. علت آن ناشی از این حقیقت است که اکسید رسانای ZnO عبور بیشتری را در زمان ترکیب شدن با SnO_x مهیا می‌سازد [۱۲]. با توجه به این واقعیت که مواد نیمه‌رسانا در هنگام برخورد نور مقداری بازتابش از خود نشان می‌دهند، در مرحله بعد به منظور کاستن از میزان بازتابش



شکل ۴. طیف عبوری اپتیکی فیلم ترکیبی $\text{ZnO}-\text{SnO}_2:\text{F}$ بدون ضدبازتاب و با یک لایه ضدبازتاب و دو لایه ضدبازتاب.



شکل ۵. تغییرات گاف انرژی و شاخص شکست برای فیلم‌های ترکیبی $\text{ZnO}-\text{SnO}_2:\text{F}$.

$$\alpha h\nu = A (h\nu - E_g)^{1/2} \quad (6)$$

منحنی‌های رسم شده به ازای مقادیر مختلف F نشان می‌دهد که افزایش میزان ناخالصی شکاف انرژی را افزایش می‌دهد. این پهن شدگی مربوط به اثر موس – برسنین می‌باشد و در اثر افزایش تراکم حامل‌های بار روی می‌دهد. بر اساس نتایج بدست آمده در این تحقیق، در ترکیب $\text{ZnO}-\text{SnO}_2:\text{F}$ با افزایش میزان ناخالصی پهنای گاف از $4.2 \times 10^{-11} \text{ eV}^2$ تا $3.82 \times 10^{-11} \text{ eV}^2$ افزایش می‌یابد (به دلیل کمبود فضایی مقاله منحنی‌های مربوطه درج نشده است).

در این تحقیق به منظور طراحی و ساخت پوشش‌های هادی شفاف ترکیبی $\text{SnO}_2-\text{ZnO}:F$ که دارای بیشترین میزان عبور

طبق شکل ۴ افزایش تعداد لایه‌های ضدبازتاب بر روی لایه اصلی موجب کم شدن میزان انعکاس در محدوده مرئی و افزایش عبور اپتیکی در این ناحیه شده در عین حال که مقاومت سطحی نمونه‌ها با افزودن این پوشش ضدبازتاب چندان تغییری نکرده است.

در شکل ۵ ضریب شکست نمونه $\text{ZnO}-\text{SnO}_2:\text{F}$ (با 2% ناخالصی) و نیز منحنی تغییرات طیفی $(\alpha h\nu)^2$ به منظور محاسبه شکاف انرژی رسم شده است. برای محاسبه ضریب شکست و شکاف انرژی از برنامه کامپیوتري PARAV که متکی بر نتایج طیف عبوری بوده و با استفاده از منحنی پوش عمل می‌کند، و نیز در محاسبات مربوطه از فرمول‌های زیر استفاده شده است [۱۴] :

$$\alpha = 1/d \ln T, \quad (5)$$

افزایش تراکم ناخالصی، از شفافیت این لایه‌های ترکیبی کاسته می‌شود. در بررسی اثر پوشش‌های ضدبازتاب بر خواص اپتیکی نمونه‌های تهیه شده، مشاهده می‌شود که با افزودن یک و یا دو لایه پوشش ضدبازتاب از نوع $\text{MgF}_2/\text{SiO}_2$ ، میزان بازتابش در ناحیه مرئی در نمونه‌های تهیه شده کاهش می‌یابد و میزان عبور تا ۹۲٪ افزایش می‌یابد، در حالی که مقاومت سطحی نمونه‌ها چندان تغییری نمی‌کند.

اپتیکی و هدایت الکتریکی باشد، ابتدا با انجام برنامه‌نویسی و شبیه‌سازی به روش ماتریسی، ضخامت‌های بهینه تعیین می‌کنیم. سپس توسط روش اسپری پایرولیز به ازای مقادیر مختلف ناخالصی Zn و سپس F نمونه‌هایی تهیه کرده و مورد تعیین مشخصه اپتیکی و الکتریکی قرار می‌دهیم. نتایج حاصله از این تحقیق نشان می‌دهد که میزان عبور اپتیکی لایه‌های ترکیبی SnO₂–ZnO بیش از لایه‌های SnO₂ بوده به طوری که با

1768.

10. C Martinet, V Pillard, A Gagnaire, and J Joseph, *J. Non-Cryst. Solids* **216** (1997) 77.
11. U Gangopadhyay, K Kim, D Manglaraj, and J Yi, *Appl. Surf. Sci.* **230** (2004) 364.
12. A I Martinez, and D R Acosta, *Thin Solid Films* **483** (2005) 107.
13. H A Macleod, “*Thin-Film Optical Filters*” Published by Institute of Physics London (1999).
14. A Ganjoo, and R Golovchak, *Journal OF Optoelectronics and Advanced Materials* **10** (2008) 1328.

1. K L Chopra, S Major, and D K Pandya, *Thin Solid Films* **102** (1983) 1.
2. A L Dawar, and J C Joshi, *J Mater. Science* **19** (1984) 1.
3. D S Ginley, and C Bright, *MRS Bull.* **25** (2000) 15.
4. T Minami, *MRS Bull.* **25** (2000) 38.
5. W J Moon, J H Yu, and G M Choi, *Sens. Actuators B* **87** (2002) 464.
6. J H Yu, and G M Choi, *J. Electroceram.* **8** (2002) 249.
7. D E Scaife, *Solar Energy* **25** (1980) 41.
8. J H Yu, and G M Choi, *Sens. Actuators B: Chem.* **72** (2001) 141.
9. T Wiktorczyk, and M Olés, *Opt. Mater.* **29** (2007)